

Наличие горизонтальной касательной — необходимое условие для того, чтобы дифференцируемая функция достигала максимума или минимума (локального) во внутренней точке  $x_0$  своей области определения. Однако это условие не является достаточным: в точке перегиба с горизонтальной касательной функция не достигает ни максимума, ни минимума.

Заметим, что точки максимума и минимума устойчивы относительно малых «шевелений» графика (рис. 196, а). Точка перегиба (с горизонтальной касательной) устойчивостью не обладает: при «шевелении» графика она может пропасть (т. е. вблизи нее не будет точек с горизонтальной касательной; рис. 196, б).

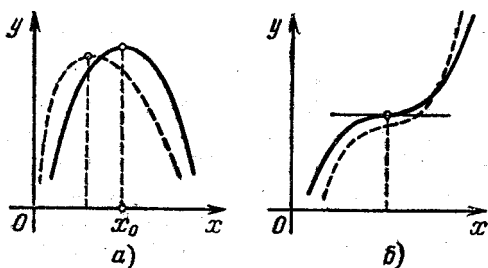


Рис. 196.

Для функций от двух переменных  $x, y$  (заданных в некоторой области на плоскости) можно указать аналогичное необходимое условие: для того чтобы функция  $f(x, y)$  достигала локального максимума или минимума во внутренней точке  $(x_0, y_0)$  своей области определения, необходимо, чтобы эта точка была критической, т. е. чтобы график функции имел в точке  $(x_0, y_0)$  горизонтальную касательную плоскость.

Пример 66. На рисунке 197 изображены графики функций

$$\begin{aligned} f_0(x, y) &= c + x^2 + y^2, & f_1(x, y) &= c + x^2 - y^2, \\ f_2(x, y) &= c - x^2 - y^2. \end{aligned} \quad (21)$$

Точка  $(0; 0)$  является для каждой из них критической: для  $f_0(x, y)$  — это точка минимума, для  $f_2(x, y)$  — точка максимума, а функция  $f_1(x, y)$  не имеет в точке  $(0; 0)$  ни максимума, ни минимума — это так называемая седловая

точка. Все эти точки устойчивы относительно малых «шевелений» графика. Существуют и более сложные критические точки; например, функция  $f(x, y) = x^3 - 3xy^2$  имеет в начале координат «седло третьего порядка» (три

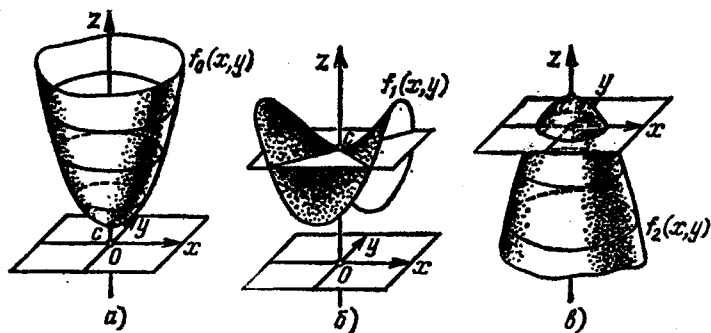


Рис. 197.

спуска и три подъема, а не два, как на рис. 197, б). Однако как угодно малым «шевелением» графика можно добиться, чтобы все критические точки стали невырожденными — такими, как на рис. 197.

Можно также рассматривать функции, заданные не на плоскости, а на поверхности — ведь вблизи каждой своей точки поверхность топологически устроена так же, как плоскость.

**Пример 67.** Для любой точки  $p$ , принадлежащей тору  $T$ , обозначим через  $f(p)$  высоту точки  $p$  над горизонтальной плоскостью  $\Pi$ . Эта функция имеет

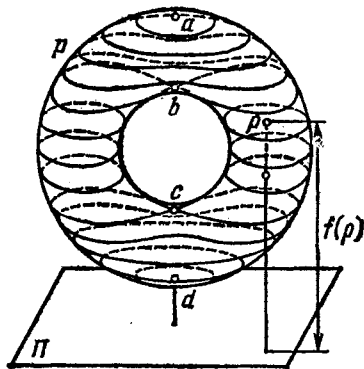


Рис. 198.

(при показанном на рис. 198 расположении тора) одну точку максимума  $a$ , одну точку минимума  $d$  и две седловые точки  $b, c$ . Таким образом, если мы обозначим через  $C_0$  число точек минимума, через  $C_1$  — число седловых точек, а через  $C_2$  — число точек максимума, то в этом примере  $C_0 = 1, C_1 = 2, C_2 = 1$ , и потому  $C_0 - C_1 + C_2 = 0$ .

**Пример 69.** Для сферы, расположенной обычным образом, та же функция  $f(p)$  («высота» точек над горизон-

тальной плоскостью) имеет две критические точки: точку минимума («южный полюс») и точку максимума («северный полюс»). Таким образом, в этом случае  $C_0 = 1$ ,  $C_1 = 0$ ,  $C_2 = 1$ , т. е.  $C_0 - C_1 + C_2 = 2$ .

Рассмотренные примеры подводят к формулировке теоремы о критических точках, принадлежащей английскому математику Морсу. Условимся говорить, что точка минимума имеет индекс 0, седловая точка — индекс 1, а точка максимума — индекс 2. Теперь мы можем сформулировать «первую половину» теоремы Морса (для случая поверхности): *пусть на поверхности  $Q$  задана функция, имеющая только невырожденные критические точки; тогда*

$$C_0 - C_1 + C_2 = \chi(Q), \quad (22)$$

где  $C_0$  — число критических точек индекса 0 (т. е. точек минимума),  $C_1$  — число критических точек индекса 1 (седел),  $C_2$  — число критических точек индекса 2 (точек максимума).

В самом деле, функция  $f$  определяет на поверхности  $Q$  линии уровня (вдоль каждой из которых функция  $f$  принимает постоянное значение). Кроме того, можно на  $Q$  наметить линии наискорейшего спуска, вдоль которых функция  $f$  наиболее быстро убывает; они перпендикулярны линиям уровня. Векторы, касающиеся линий наискорейшего спуска, образуют векторное поле на поверхности  $Q$ . В точках, не являющихся критическими, это векторное поле не имеет особенностей. На рис. 199

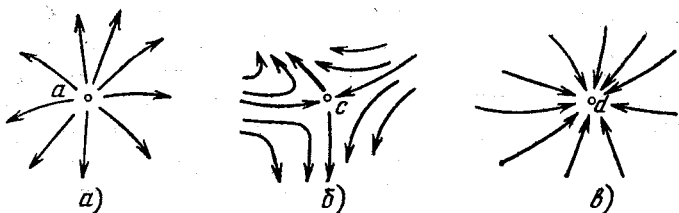


Рис. 199.

показан вид векторного поля вблизи точки минимума (а), седловой точки (б), точки максимума (в). Легко проверяется, что  $j = (-1)^k$ , где  $j$  — индекс особенности векторного поля, а  $k$  — индекс критической точки (см. рис. 89 на с. 69). Следовательно, рассматриваемое векторное поле имеет  $C_0$  особенностей с индексом  $+1$  (минимумы),  $C_1$  особенностей с индексом  $-1$  (седловые точки) и еще  $C_2$

особенностей с индексом  $+1$  (максимумы). Из теоремы Пуанкаре о векторных полях (п. 14) теперь следует справедливость формулы (22) для любой замкнутой ориентированной поверхности.

### Задачи

210. Докажите, что формула (22) справедлива и для любой замкнутой неориентируемой поверхности.

211. Докажите, что если на поверхности  $P_k$  задана функция, все критические точки которой невырождены, то число критических точек не меньше  $2k + 2$ .

Рассмотрим теперь «вторую половину» теоремы Морса: пусть на поверхности  $Q$  задана функция, имеющая только невырожденные критические точки; тогда

$$C_0 \geq p_0(Q), \quad C_1 - C_0 \geq p_1(Q) - p_0(Q). \quad (23)$$

Для доказательства продолжим предыдущие рассуждения. Будем считать, что значения, которые функция  $f$  принимает в критических точках, попарно различны. Мы можем считать критические точки  $a_1, \dots, a_q$  перенумерованными таким образом, что  $f(a_1) > f(a_2) > \dots > f(a_q)$ .

Вблизи  $a_1$  (точки наибольшего максимума, рис. 200, а) линии уровня замкнуты и окружают точку  $a_1$ . Разрезав поверхность по одной из этих линий, мы получим двумерную клетку  $\tau_1$  и остаток  $Q$  (рис. 200, б).

Теперь упростим фигуру  $Q_1$ . Для этого рассмотрим линию уровня, проходящую чуть выше точки  $a_2$ , и отрезем от  $Q_1$  часть  $F_1$ , расположенную выше этой линии уровня (рис. 200, в). Оставшуюся часть поверхности обозначим через  $Q_1'$ . Так как между  $a_1$  и  $a_2$  критических точек нет, то вся часть  $F_1$  заполнена «параллельно идущими» линиями наискорейшего спуска, и по этим линиям можно  $F_1$  «сдвинуть» вниз в  $Q_1'$ . Так как при этом сдвиге (как и при всякой гомотопии) любой цикл переходит в гомологичный, то фигура  $Q_1$  имеет те же гомологии, что и  $Q_1'$ .

Рассмотрим линию уровня  $l$ , проходящую чуть ниже точки  $a_2$ , и обозначим через  $Q_2$  часть поверхности, лежащую ниже этой линии. Пусть, например,  $a_2$  является седлом. Мы можем сдвинуть (по линиям наискорейшего спуска)  $Q_1'$  в  $Q_2$  — всюду, за исключением окрестности точки  $a_2$  (рис. 200, г). Затем можно сжать оставшуюся «перемычку» в одномерную клетку  $\tau_2$ , приклеенную к  $Q_2$  (рис. 200, д). Эти деформации не изменяют гомологий. Следовательно, первоначальная поверхность  $Q$  имеет те

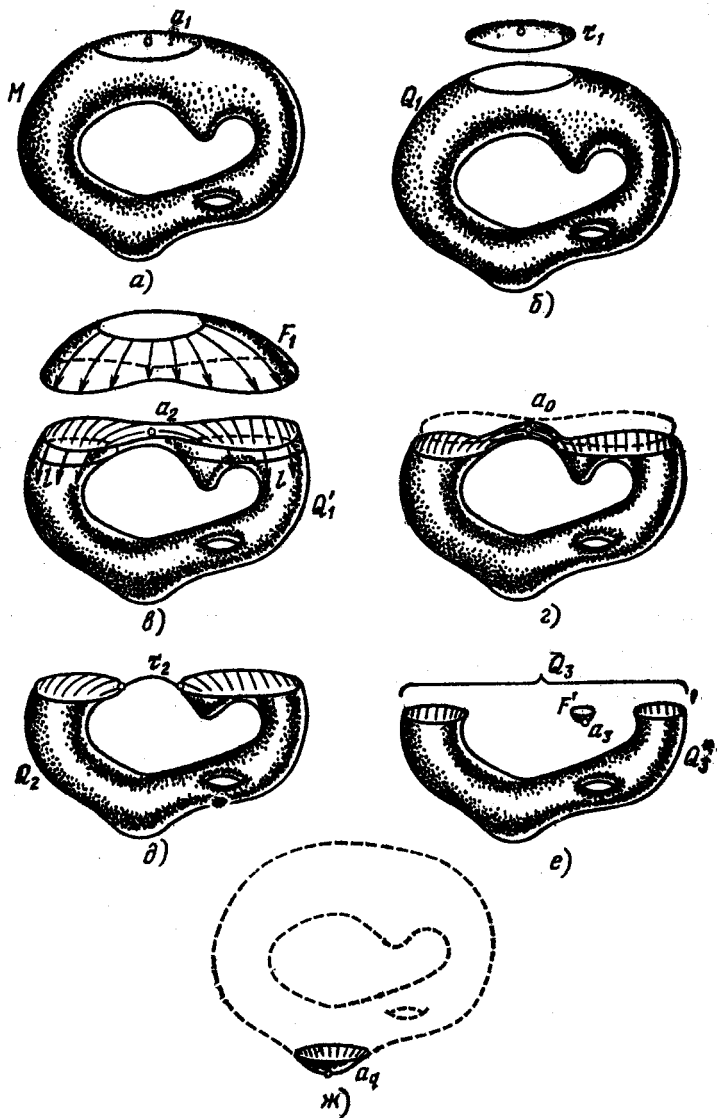


Рис. 200.

же гомологии, что и фигура, получающаяся из  $Q_2$  приклеиванием одномерной клетки  $\tau_2$  (соответствующей седлу), а затем двумерной клетки  $\tau_1$  (соответствующей максимуму).

Далее мы сдвинем  $Q_2$  в часть  $Q'_2$ , лежащую ниже линии уровня, проходящей чуть выше точки  $a_3$ . Если  $a_3$  есть точка минимума, то оставшаяся вблизи точки  $a_3$  часть  $F'$  поверхности (т. е. круг) имеет те же гомологии, что и точка, т. е. нульмерная клетка  $\tau_3$  (рис. 200, *e*). Обозначив фигуру, получающуюся из  $Q_3$  отбрасыванием куска  $F'$ , через  $Q_3^*$ , мы находим, что первоначальная поверхность  $Q$  имеет те же гомологии, что и фигура, получающаяся из  $Q_3^*$  добавлением нульмерной клетки  $\tau_3$ , одномерной  $\tau_2$ , двумерной  $\tau_1$ .

В конце концов, мы оставим от первоначальной поверхности последнюю точку минимума  $a_q$  (рис. 200, *ж*). Идя обратным путем, мы найдем, что фигуру, имеющую те же гомологии, что и поверхность  $Q$ , можно получить последовательным приклеиванием клетки каждой точке минимума соответствует нульмерная клетка, седлу — одномерная клетка, а максимуму — двумерная. Иначе говоря,  $Q$  имеет те же гомологии, что и некоторый полиэдр, содержащий  $C_0$  нульмерных,  $C_1$  одномерных и  $C_2$  двумерных клеток. Из этого и вытекает справедливость неравенств (23) (см. задачу 194 на с. 133).

### Задачи

212. Докажите, что соотношения (22), (23) справедливы для чисел Бетти по любому простому модулю  $p$ .

213. Докажите, что  $C_r \geq p_r(Q)$ ,  $r = 0, 1, 2$ .

Заметим в заключение, что можно рассматривать функции и на «многомерных поверхностях» (в задачах 190, 192 и примерах 57, 58 рассматриваются «трехмерные поверхности»). На  $n$ -мерной «поверхности»  $Q$  имеется  $n + 1$  типов невырожденных критических точек (в формулах, аналогичных (21), может быть в правой части  $0, 1, \dots, n$  минусов). Теорема Морса (и рассмотренное ее доказательство) сохраняются и в этом случае. Например, неравенства (23) принимают вид

$$\sum_{k=0}^r (-1)^{r-k} C_k \geq \sum_{k=0}^r (-1)^{r-k} p_k(Q), \quad r = 0, 1, \dots, n.$$